

カイラル輸送現象: ニュートリノから 超新星爆発へ

山本 直希 (慶應義塾大学)

「素粒子物理学の進展2017」 2017年8月4日

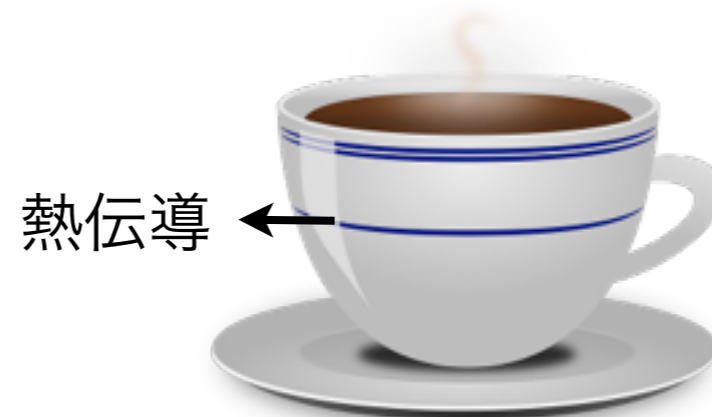
内容

- カイラル輸送現象
- カイラル運動論
- 超新星爆発への応用
- カイラル乱流

輸送現象

輸送現象

- 古典的で身近な例:
 - Ohmの法則: $\mathbf{j}_e = \sigma \mathbf{E}$
 - Fourierの法則: $\mathbf{j}_Q = \kappa(-\nabla T)$



色々な輸送現象

- 19世紀までに既に分かったもの

電流	1826 Ohm	1879 Hall	1821 Seebeck	1886 Nernst
$\mathbf{j}_e = \sigma \mathbf{E} + R \mathbf{E} \times \mathbf{B} + \alpha (-\nabla T) + N (-\nabla T) \times \mathbf{B}$				
熱流	Peltier 1834	Ettingshausen 1886	Fourier 1807	Leduc-Righi 1887
$\mathbf{j}_Q = \beta \mathbf{E} + N \mathbf{E} \times \mathbf{B} + \kappa (-\nabla T) + L (-\nabla T) \times \mathbf{B}$				

- $\mathbf{E} \rightarrow -\nabla \mu$ でもよい.
- これで全て？

$j_e \sim B ?$

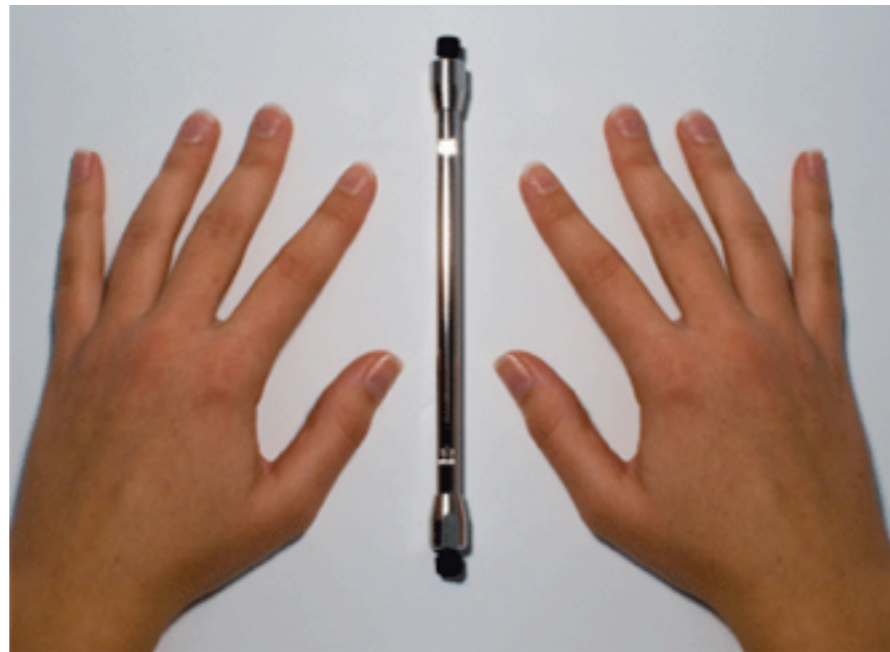
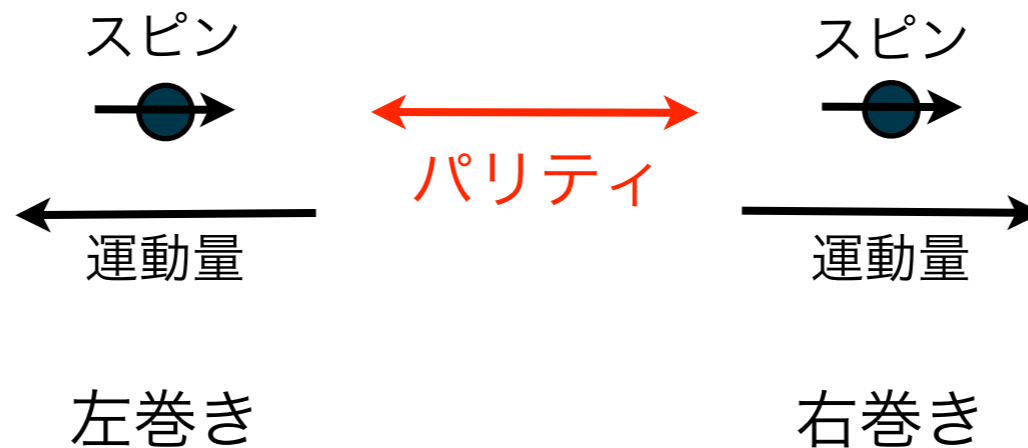
パリティ

$$\mathbf{j}_e = \kappa \mathbf{B}$$

- パリティ変換のもとで $-\mathbf{j}_e = \kappa \mathbf{B}$ ($\mathbf{B} = \nabla \times \mathbf{A}$)
- パリティに矛盾しない唯一の可能性: $\kappa = 0$
- 「普通の」金属では起きない

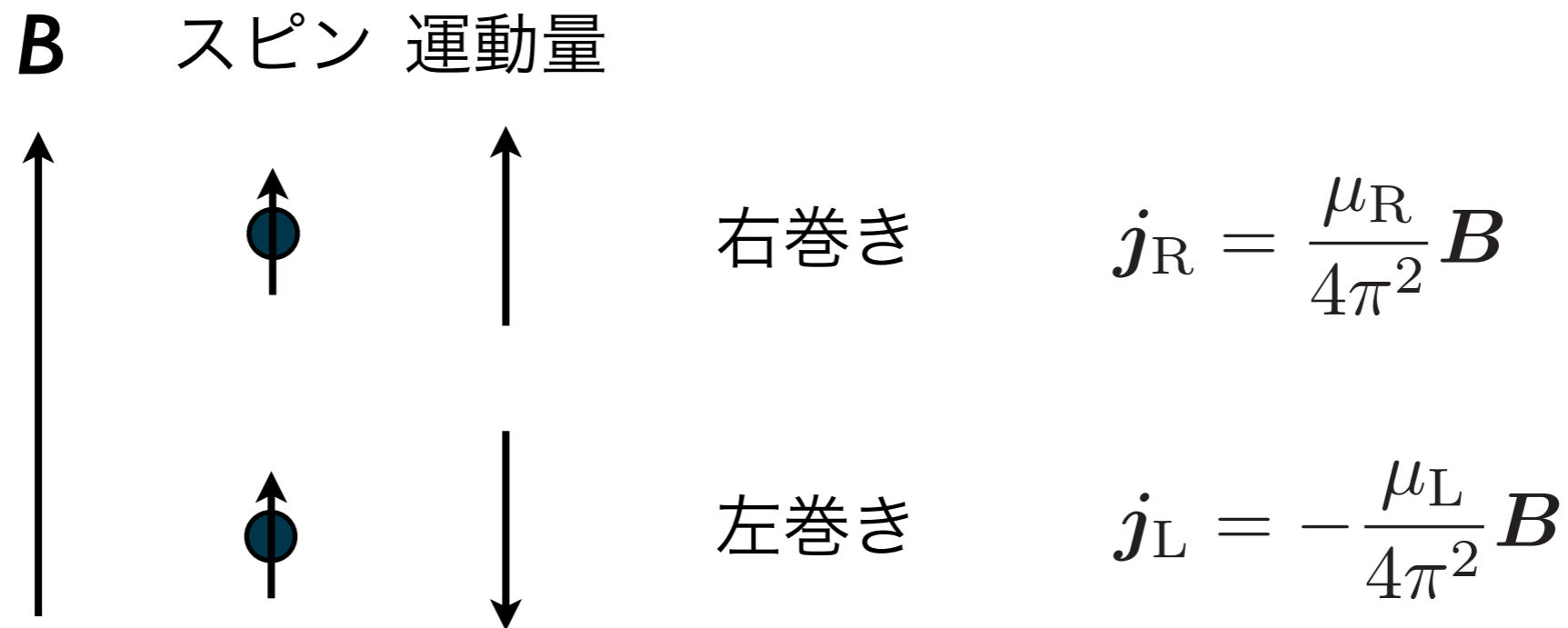
(注) $\mathbf{j}_e = \sigma \mathbf{E}$ ($\sigma \neq 0$) はパリティと矛盾しない

カイラリティ



$\mathbf{j}_e \sim (\mu_R - \mu_L)\mathbf{B}$ はパリティと矛盾しない

Chiral magnetic effect



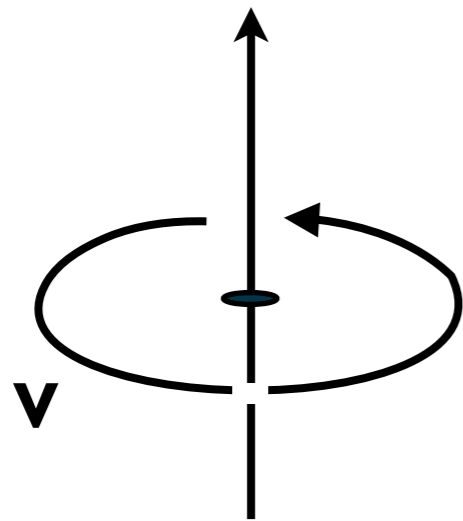
$$\dot{j}_e = \frac{1}{4\pi^2} (\mu_R - \mu_L) B$$

厳密な輸送係数：場の量子論における量子異常と密接に関係

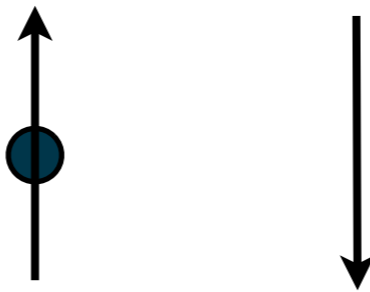
Vilenkin (1980); Nielsen, Ninomiya (1983); Fukushima, Kharzeev, Warringa (2008), ...

Chiral vortical effect

渦度 $\omega = \nabla \times v$



スピン 運動量



左巻きニュートリノ

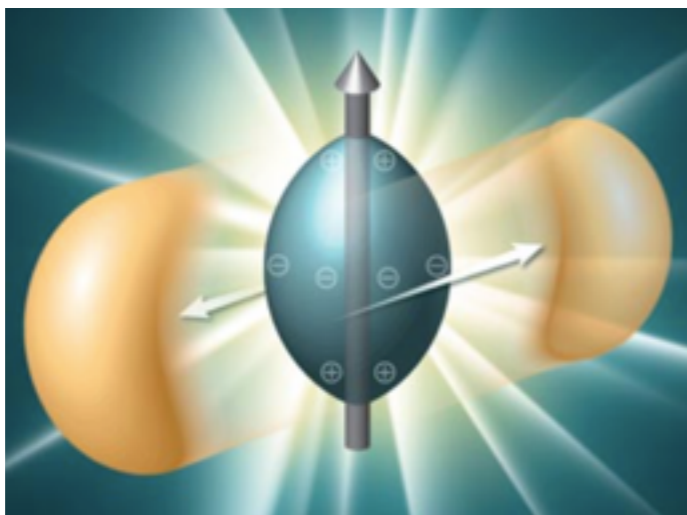
$$j = - \left(\frac{\mu^2}{8\pi^2} + \frac{T^2}{24} \right) \omega$$

従来の運動論 (Boltzmann方程式) では記述できない

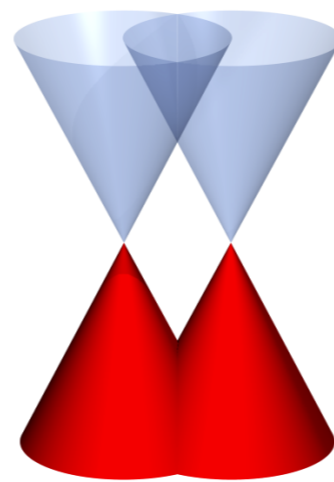
Vilenkin (1979); Erdmenger et al. (2009); Banerjee et al. (2011);
Son-Surowka (2009); Landsteiner et al. (2011)

カイラル物質

- 初期宇宙における電弱プラズマ Joyce-Shaposhnikov (1997), ...
- 重イオン衝突実験におけるQGP Kharzeev-McLerran-Warringa (2008), ...
- Weyl半金属 (“3D graphene”) Nielsen-Ninomiya (1983), ...
- 超新星におけるニュートリノ物質 NY (2016), ...



QGP



Weyl半金属



超新星爆発

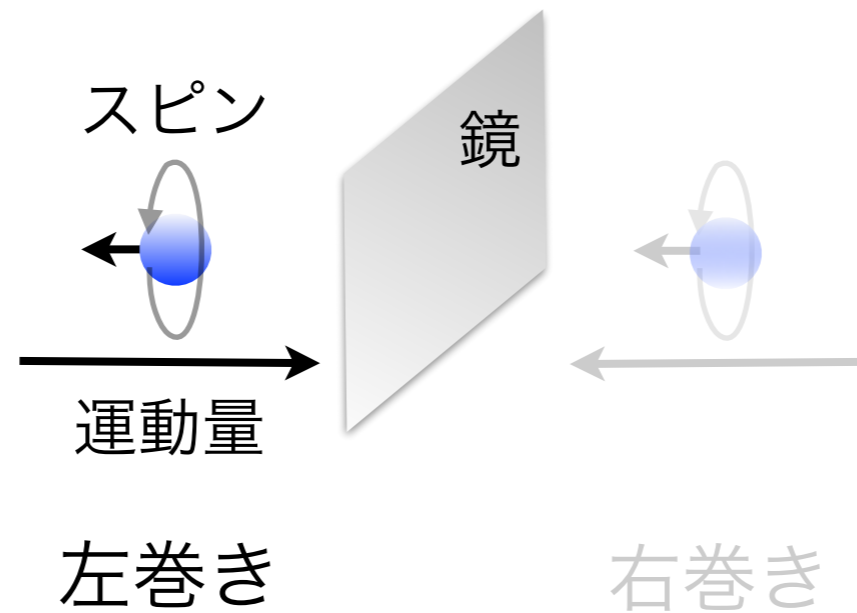
超新星における ニュートリノ物質

超新星爆発

- 宇宙で最も大きな爆発現象の1つ
- 大質量星の中性子星への転移 & 重元素の起源
- 重力エネルギーの大部分をニュートリノが持ち運ぶ
- 従来のニュートリノ輸送理論では3次元の超新星爆発が困難

宇宙物理学の未解決問題の1つ

ニュートリノの基本的性質



ニュートリノは左巻き (パリティ対称性を破る)

ミクロからマクロへ

ミクロなパリティの破れ → マクロな流体力学的な振舞い

ミクロ

素粒子標準模型における ν のカイラリティ



カイラル運動論 (Boltzmann方程式)

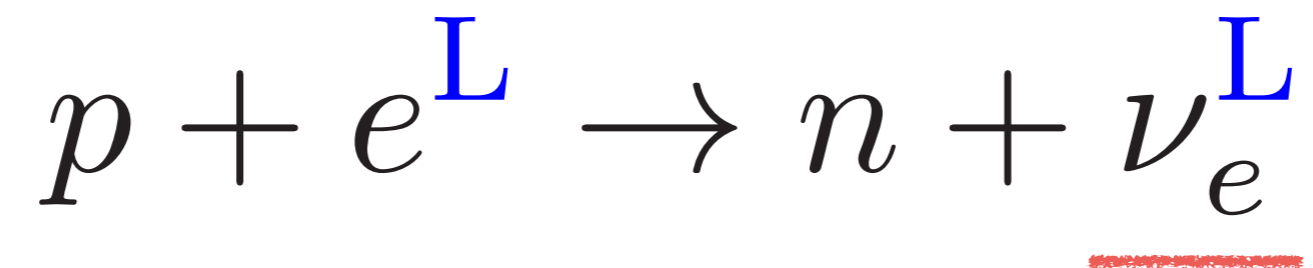


Son-NY, PRL (2012); Stephanov-Yin, PRL (2012)

マクロ

超新星の進化 (宇宙最大のパリティの破れ) NY, PRD (2016)

Supernova = Giant parity breaker



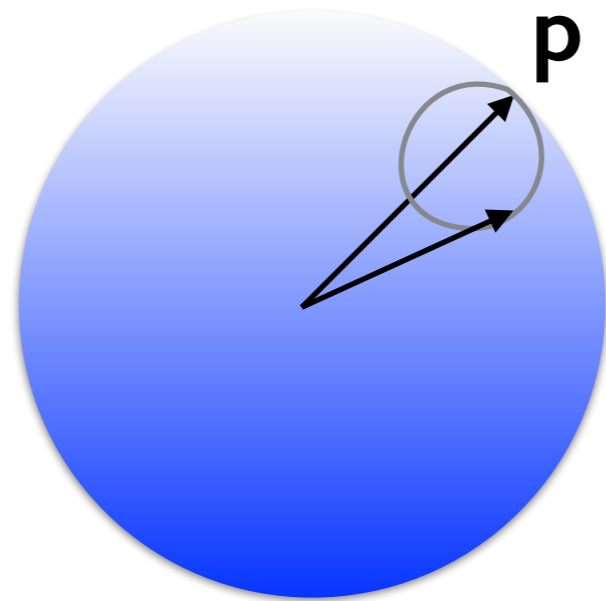
超新星のニュートリノ物質

- ニュートリノ平均自由行程 ~ 中心コアで 1 cm ($\rho_N \sim 10^{15}$ g/cm³).
- ニュートリノ物質 = カイラル流体 ($\mu_\nu \sim 200$ MeV \gg T ~ 10 MeV)
= 3次元トポロジカル物質

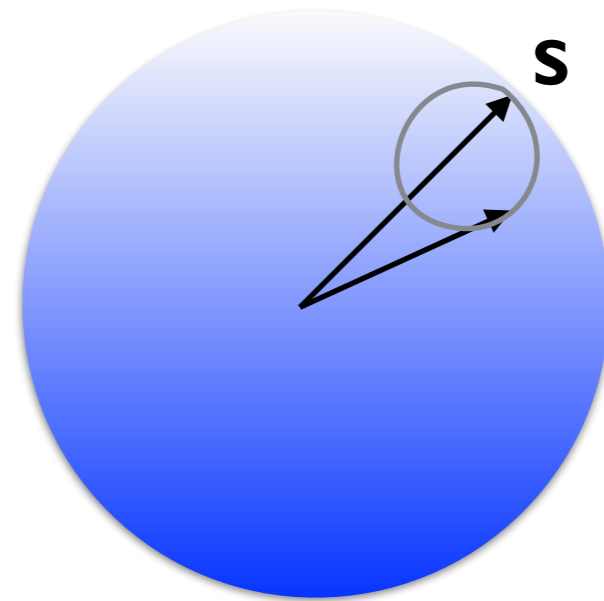
NY, PRD (2016) [arXiv:1511.00933]

カイラリティとトポロジ

右巻きフェルミオン



運動量空間

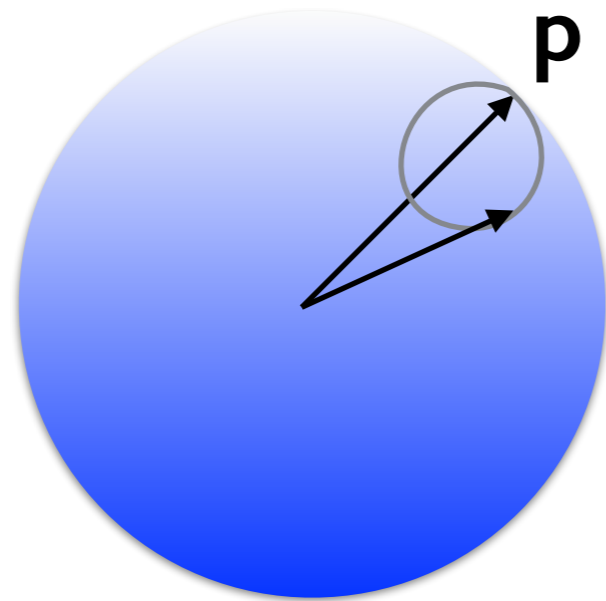


スピン空間

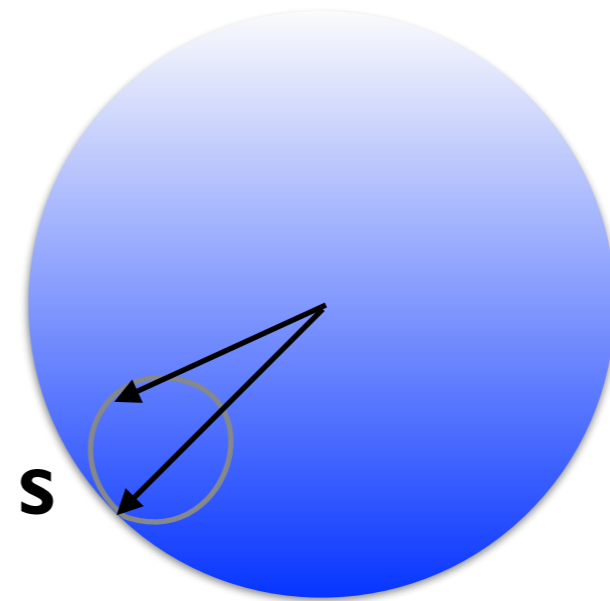
S^2 (運動量空間) から S^2 (スピン空間) へのmapping: 巻き数 +1

カイラリティとトポロジー

左巻きフェルミオン



運動量空間



スピン空間

S^2 (運動量空間) から S^2 (スピン空間) へのmapping: 巻き数 -1

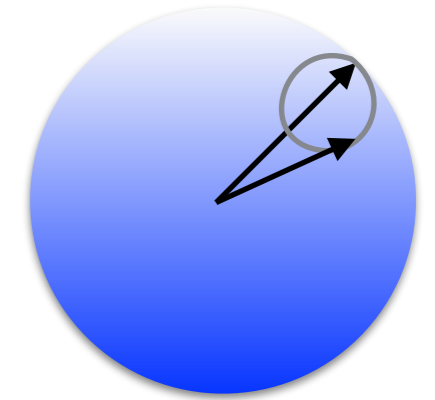
ニュートリノ物質 = 3次元トポロジカル物質

カイラル運動論

Son-NY, PRL (2012); Stephanov-Yin, PRL (2012)

トポロジジーとBerry曲率

- $\pi_2(S^2)=\pm 1 \rightarrow p=0$ でのモノポール
- モノポール“磁場” = Berry曲率 $\Omega_p = \pm \frac{p}{2|p|^3}$
- Ω_p は運動方程式・輸送理論を補正



トポロジジーが非平衡ダイナミクスに影響
(カイラル運動論)

Berry曲率と運動方程式

運動方程式:

$$\dot{\boldsymbol{x}} = \hat{\boldsymbol{p}}$$

$$\dot{\boldsymbol{p}} = \boldsymbol{E} + \dot{\boldsymbol{x}} \times \boldsymbol{B}$$

 **x-空間**でのLorentz力

Berry曲率と運動方程式

半古典的な運動方程式:

$$\dot{\boldsymbol{x}} = \hat{\boldsymbol{p}} + \dot{\boldsymbol{p}} \times \boldsymbol{\Omega}_p$$

$$\dot{\boldsymbol{p}} = \boldsymbol{E} + \dot{\boldsymbol{x}} \times \boldsymbol{B}$$

p -空間での“Lorentz力”

Sundaram-Niu, PRB (1999)

x -空間でのLorentz力

Berry曲率と運動方程式

半古典的な運動方程式:

$$\dot{\mathbf{x}} = \hat{\mathbf{p}} + \dot{\mathbf{p}} \times \boldsymbol{\Omega}_p = (1 + \mathbf{B} \cdot \boldsymbol{\Omega}_p)^{-1} [\hat{\mathbf{p}} + \mathbf{E} \times \boldsymbol{\Omega}_p + (\hat{\mathbf{p}} \cdot \boldsymbol{\Omega}_p) \mathbf{B}]$$

$$\dot{\mathbf{p}} = \mathbf{E} + \dot{\mathbf{x}} \times \mathbf{B} = (1 + \mathbf{B} \cdot \boldsymbol{\Omega}_p)^{-1} [\mathbf{E} + \hat{\mathbf{p}} \times \mathbf{B} + (\mathbf{E} \cdot \mathbf{B}) \boldsymbol{\Omega}_p]$$

Boltzmann方程式:

$$\longrightarrow \frac{dn_p}{dt} = \frac{\partial n_p}{\partial t} + \dot{\mathbf{x}} \cdot \frac{\partial n_p}{\partial \mathbf{x}} + \dot{\mathbf{p}} \cdot \frac{\partial n_p}{\partial \mathbf{p}} = c[n_p]$$

カイラル運動論

$$(1 + \mathbf{B} \cdot \boldsymbol{\Omega}) \frac{\partial n_p}{\partial t} + [\mathbf{v} + \mathbf{E} \times \boldsymbol{\Omega} + (\mathbf{v} \cdot \boldsymbol{\Omega}) \mathbf{B}] \cdot \frac{\partial n_p}{\partial \mathbf{x}} + [\mathbf{E} + \mathbf{v} \times \mathbf{B} + (\mathbf{E} \cdot \mathbf{B}) \boldsymbol{\Omega}] \cdot \frac{\partial n_p}{\partial \mathbf{p}} = c[n_p]$$

Son-NY, PRL (2012); Stephanov-Yin, PRL (2012)

- 左巻き・右巻きを区別
- 量子異常やCMEを再現

ニュートリノノ輸送

- カレント: $j = \int_{\mathbf{p}} (\hat{\mathbf{p}} f - |\mathbf{p}| \boldsymbol{\Omega}_{\mathbf{p}} \times \nabla_{\mathbf{x}} f)$
 - エネルギー-運動量テンソル:
$$T^{ij} = \int_{\mathbf{p}} |\mathbf{p}| \left(\hat{p}^i \hat{p}^j f - \frac{1}{2} p^i \epsilon^{jkl} \Omega_{\mathbf{p}}^k \partial_{\ell} f - \frac{1}{2} p^j \epsilon^{ikl} \Omega_{\mathbf{p}}^k \partial_{\ell} f \right)$$
- $\boldsymbol{\Omega}_{\mathbf{p}} = -\frac{\mathbf{p}}{2|\mathbf{p}|^3}$: カイラリティの効果

Son-NY, PRD (2013); Chen-Son-Stephanov, PRL (2015)

重力崩壊型 超新星

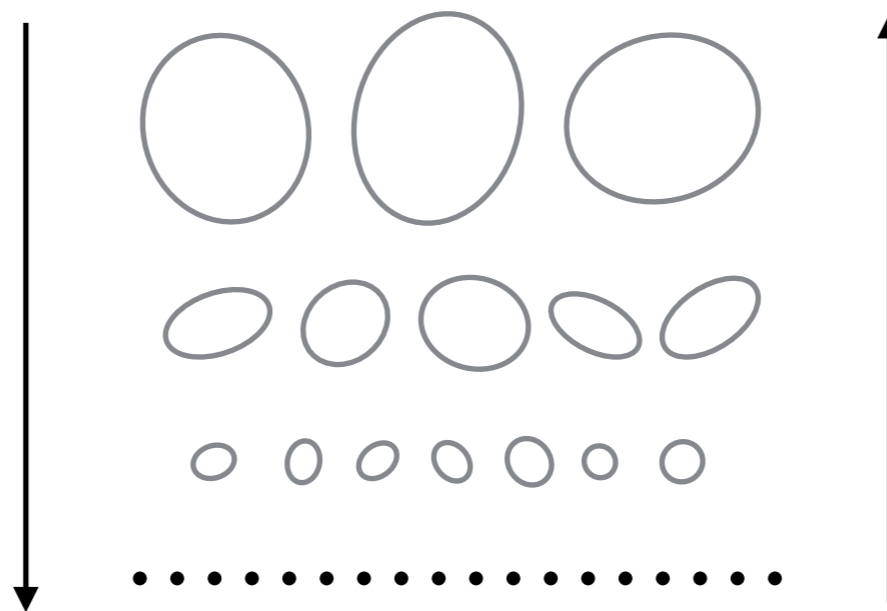
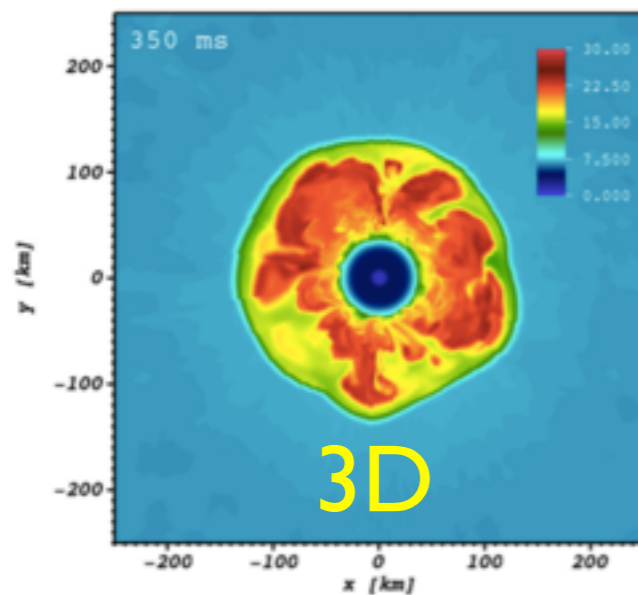
への応用

乱流カスケードと爆発

順カスケード

(3D 通常の物質)

爆発しにくい

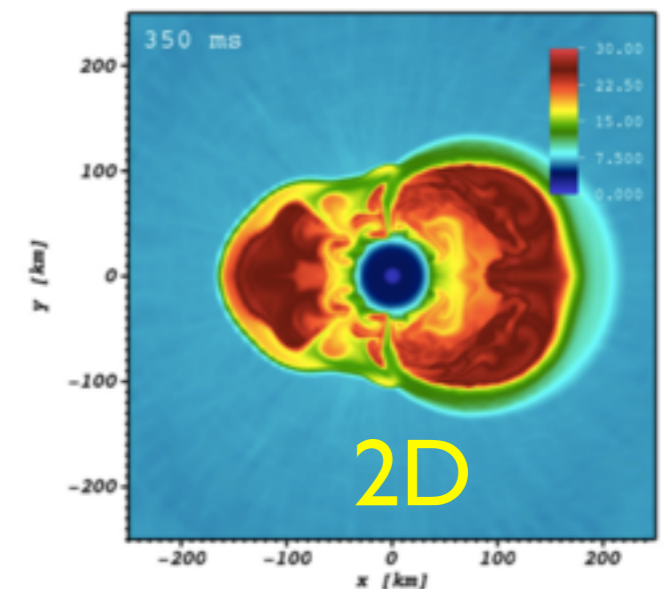


F. Hanke (2014)

逆カスケード

(2D 通常の物質)

爆発しやすい



3D カイラル物質では？

Neutrino radiation *chiral* hydro

- 超新星にはニュートリノだけでなく原子核・電子も存在.
 - コア外部ではニュートリノに対して流体力学が使えない
- Neutrino radiation *chiral* hydrodynamics
= 原子核・電子の流体力学 + ニュートリノカイラル運動論

NY, work in progress

カイラル流体力学

エネルギー-運動量の保存: $\partial_\mu T^{\mu\nu} = 0$

カレントの保存: $\partial_\mu j^\mu = 0$

$$T^{\mu\nu} = (\epsilon + P)u^\mu u^\nu - P g^{\mu\nu} + (\text{dissipation})$$

$$j^\mu = nu^\mu + \kappa\omega^\mu + (\text{dissipation})$$

← chiral vortical effect

$$\omega^\mu \equiv \epsilon^{\mu\nu\alpha\beta} u_\nu \partial_\alpha u_\beta$$

Son-Surowka (2009); Neiman-Oz (2011)

ニュートリノ流体力学

NY, PRD (2016) [arXiv:1511.00933]

- $|v| \ll 1$ でのカイラル流体方程式:

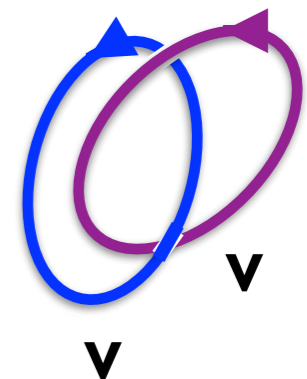
$$(\epsilon + P)(\partial_t + v \cdot \nabla)v = -\nabla P + \nu \nabla^2 v$$

$$\partial_t \left(n + \underbrace{\kappa v \cdot \omega}_{\text{CVE}} \right) + \nabla \cdot j = 0, \quad j = n v + \underbrace{\kappa \omega}_{\text{CVE}}$$

- ヘリシティの保存:

$$\frac{d}{dt} \left(\int d^3x n + \int d^3x \kappa v \cdot \omega \right) = 0$$

ニュートリノ# 流体ヘリシティ



カイラル乱流のスケール則

NY, PRD (2016) [arXiv:1603.08864]

- “慣性領域”での**唯一のスケール対称性**:

$$\boldsymbol{x} \rightarrow l\boldsymbol{x}, \quad t \rightarrow l^{1-h}t, \quad \boldsymbol{v} \rightarrow l^h\boldsymbol{v}, \quad \mu \rightarrow l^p\mu$$

$$h = 0, \quad p = -1$$

- エネルギースペクトル: $\mathcal{E}_v(l^{-1}k, l^{-1}t) = l\mathcal{E}_v(k, t)$

$$\rightarrow \mathcal{E}_v(k, t) = k^{-1}\psi_v(kt) \quad \text{唯一の自己相似解}$$

- スケーリング解での流体エネルギーの相関長:

$$\xi_v(t) = \xi_v(t_s) \left(\frac{t}{t_s} \right)$$

逆カスケードを示唆
(爆発に有利)

カイラル電磁流体 への拡張

Chiral plasma instability



最初に一様な $\mu_5 \equiv \mu_R - \mu_L$ があると仮定

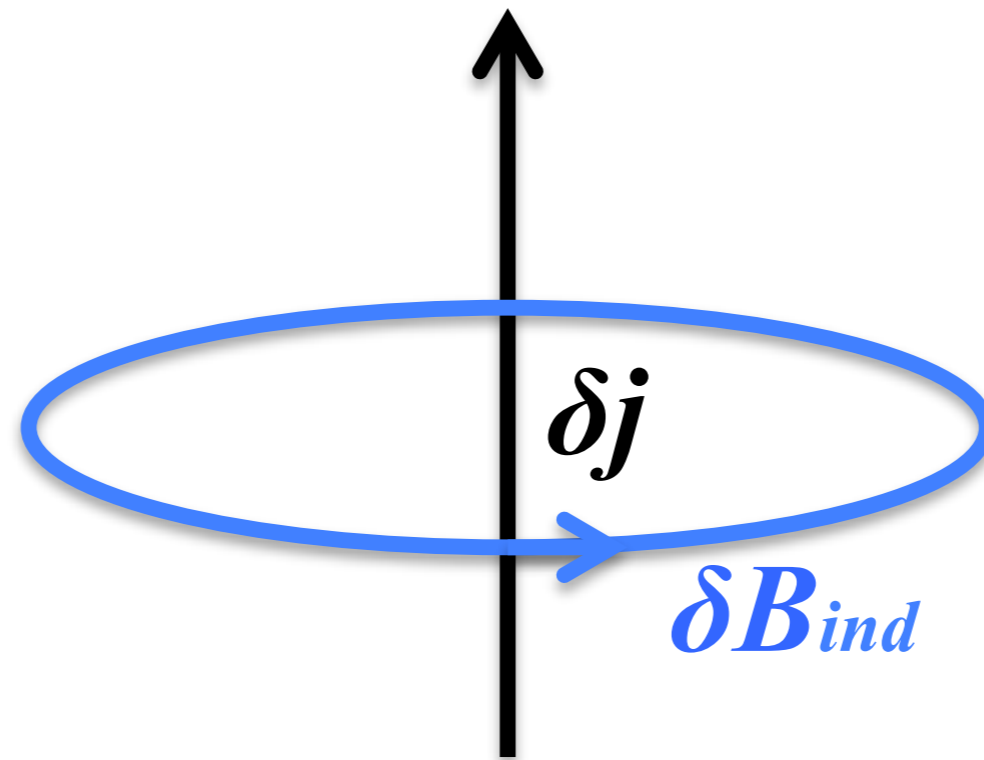
Chiral plasma instability



Chiral magnetic effect

$$\delta j \sim \mu_5 \delta B$$

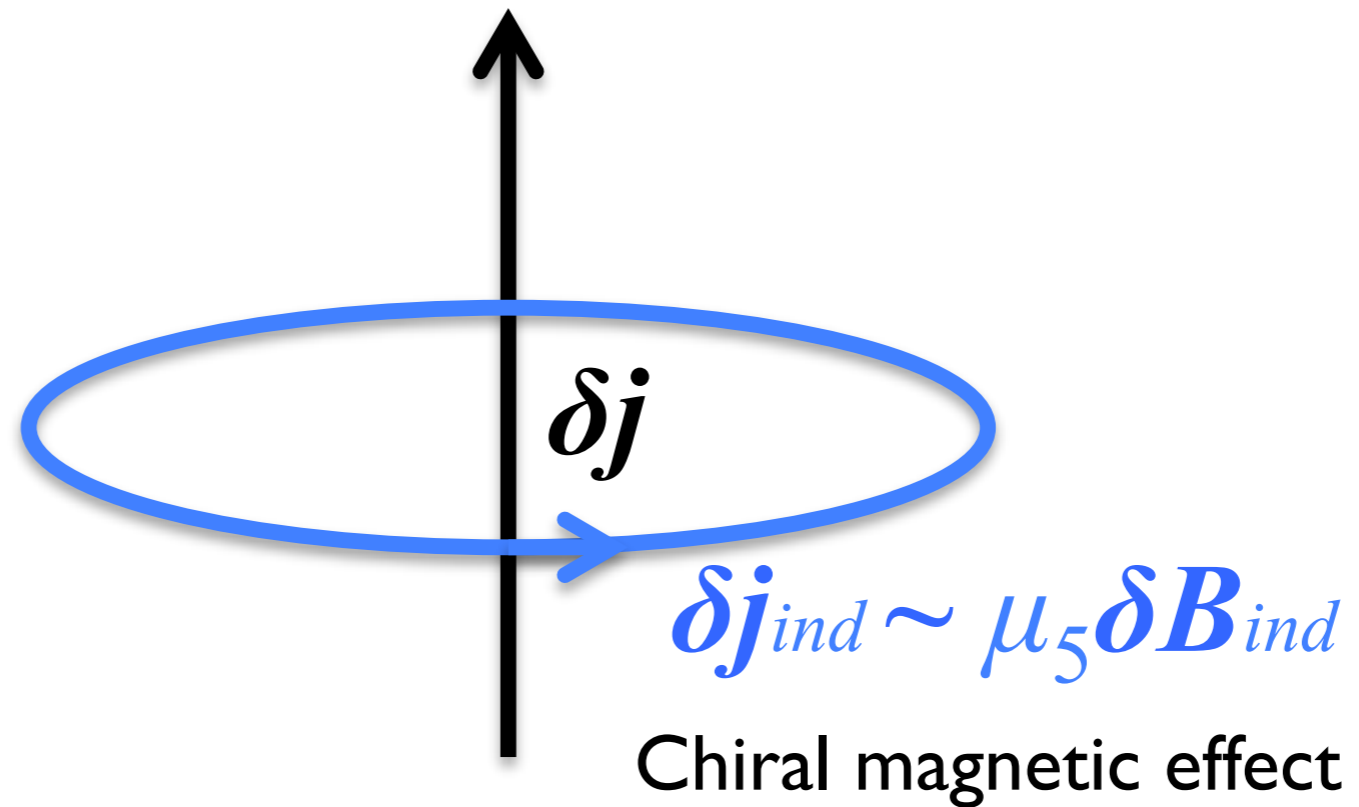
Chiral plasma instability



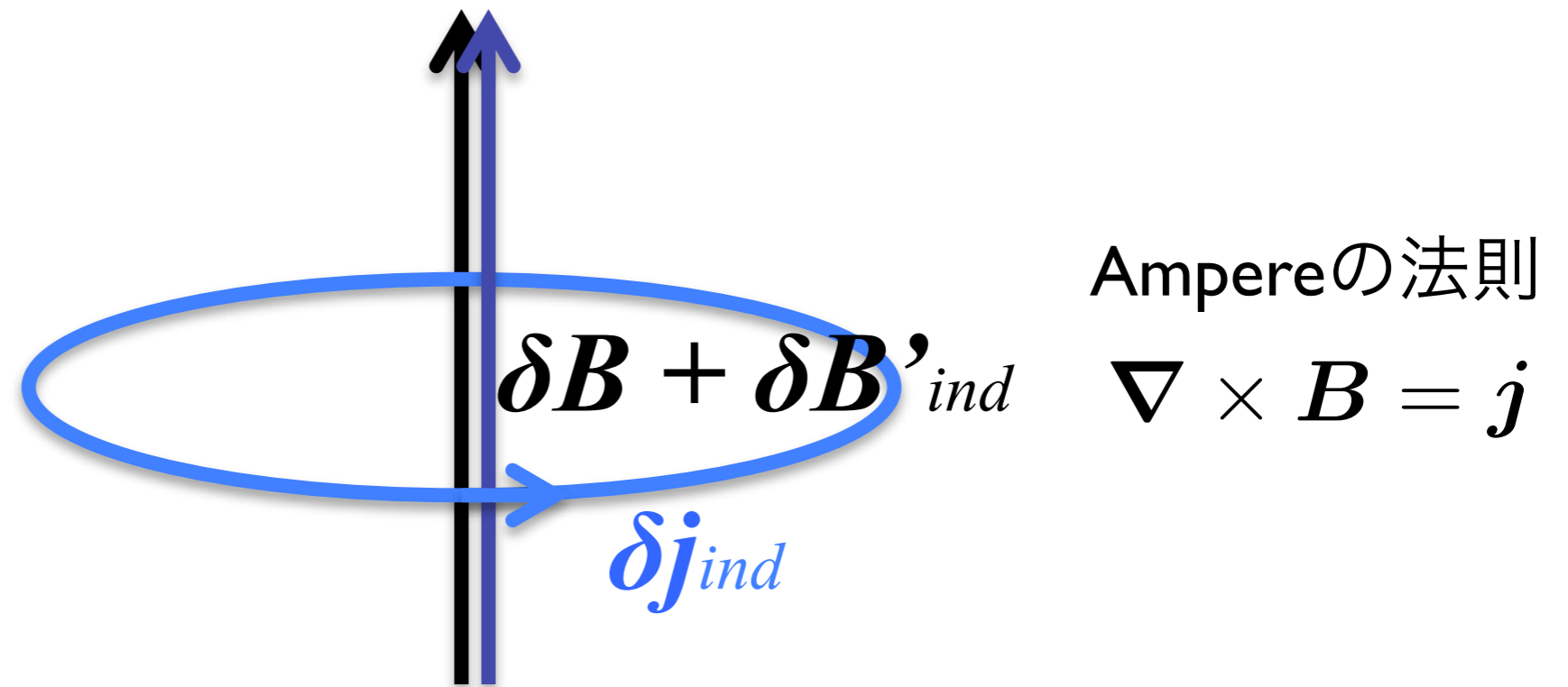
Ampereの法則

$$\nabla \times B = j$$

Chiral plasma instability

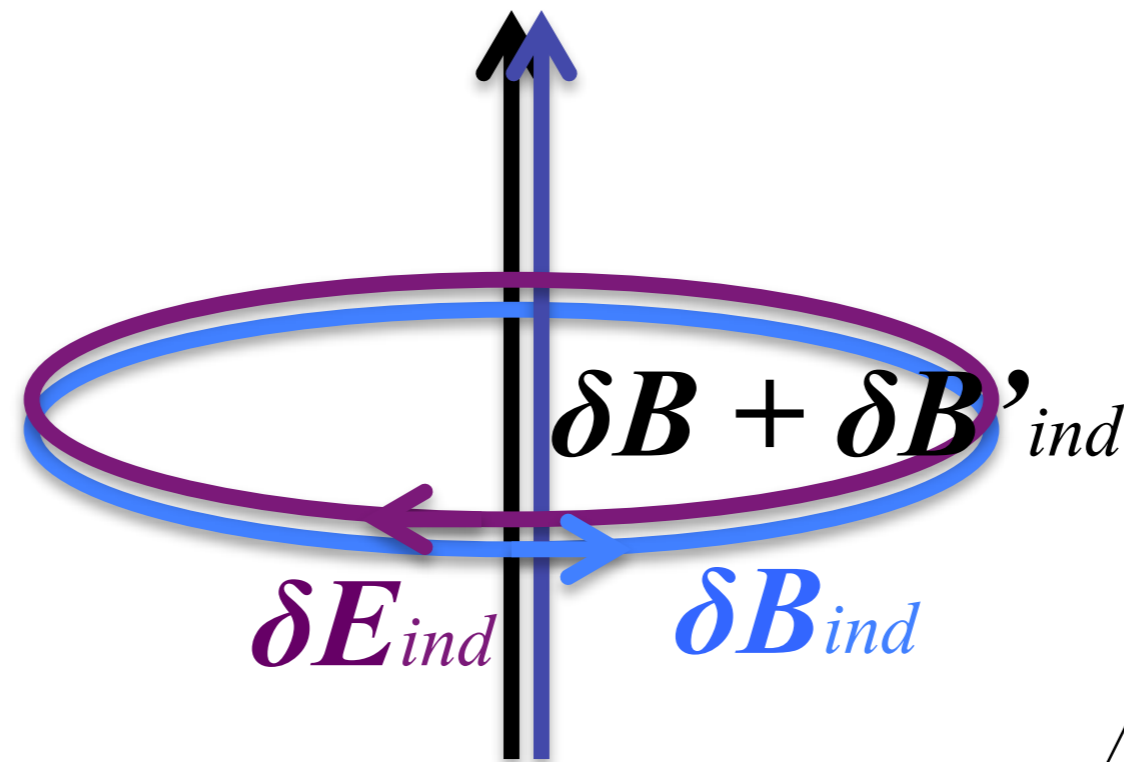


Chiral plasma instability



正のフィードバック：不安定性

Chiral plasma instability



Faradayの法則

$$\nabla \times \mathbf{E} = -\partial_t \mathbf{B}$$

量子異常

$$\Delta Q_5 = \# \mathbf{E} \cdot \mathbf{B} < 0$$

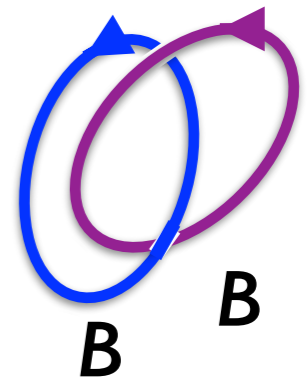
量子異常は不安定性を緩和

Anomalous Maxwell equations

- ヘリシティの保存:

$$\frac{d}{dt} \left(\int d^3x n_5 + \frac{1}{4\pi^2} \int d^3x \mathbf{A} \cdot \mathbf{B} \right) = 0$$

カイラル電荷 磁気ヘリシティ



- Maxwell方程式 + CME:

$$\nabla \times \mathbf{B} = \frac{\partial \mathbf{E}}{\partial t} + \mathbf{j}_{\text{EM}}, \quad \nabla \times \mathbf{E} = -\frac{\partial \mathbf{B}}{\partial t}$$

$$\nabla \cdot \mathbf{B} = 0, \quad \nabla \cdot \mathbf{E} = 0$$

$$\mathbf{j}_{\text{EM}} = \sigma \mathbf{E} + \underbrace{\sigma_A \mathbf{B}}_{\text{CME}}$$

Chiral MHD への拡張

- $|v| \ll 1$ でのカイラル電磁流体 (MHD) 方程式:

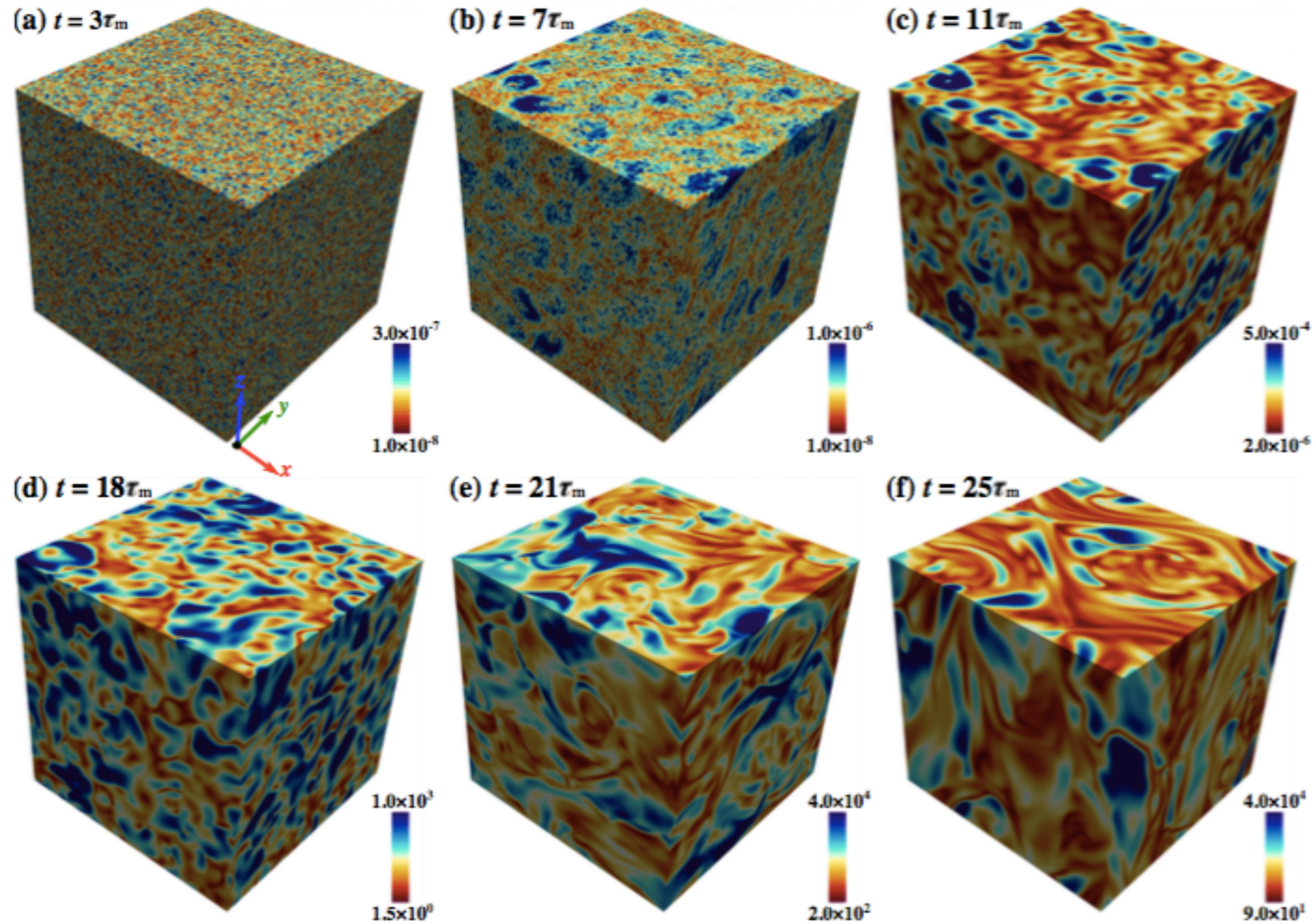
$$(\epsilon + P)(\partial_t \mathbf{v} + \mathbf{v} \cdot \nabla \mathbf{v}) = -\frac{1}{2} \nabla B^2 + (\mathbf{B} \cdot \nabla) \mathbf{B} + \nu \nabla^2 \mathbf{v}$$

$$\partial_t \mathbf{B} = \nabla \times (\mathbf{v} \times \mathbf{B}) + \underbrace{\kappa_B \eta \nabla \times \mathbf{B}}_{\text{CME}} + \eta \nabla^2 \mathbf{B}$$

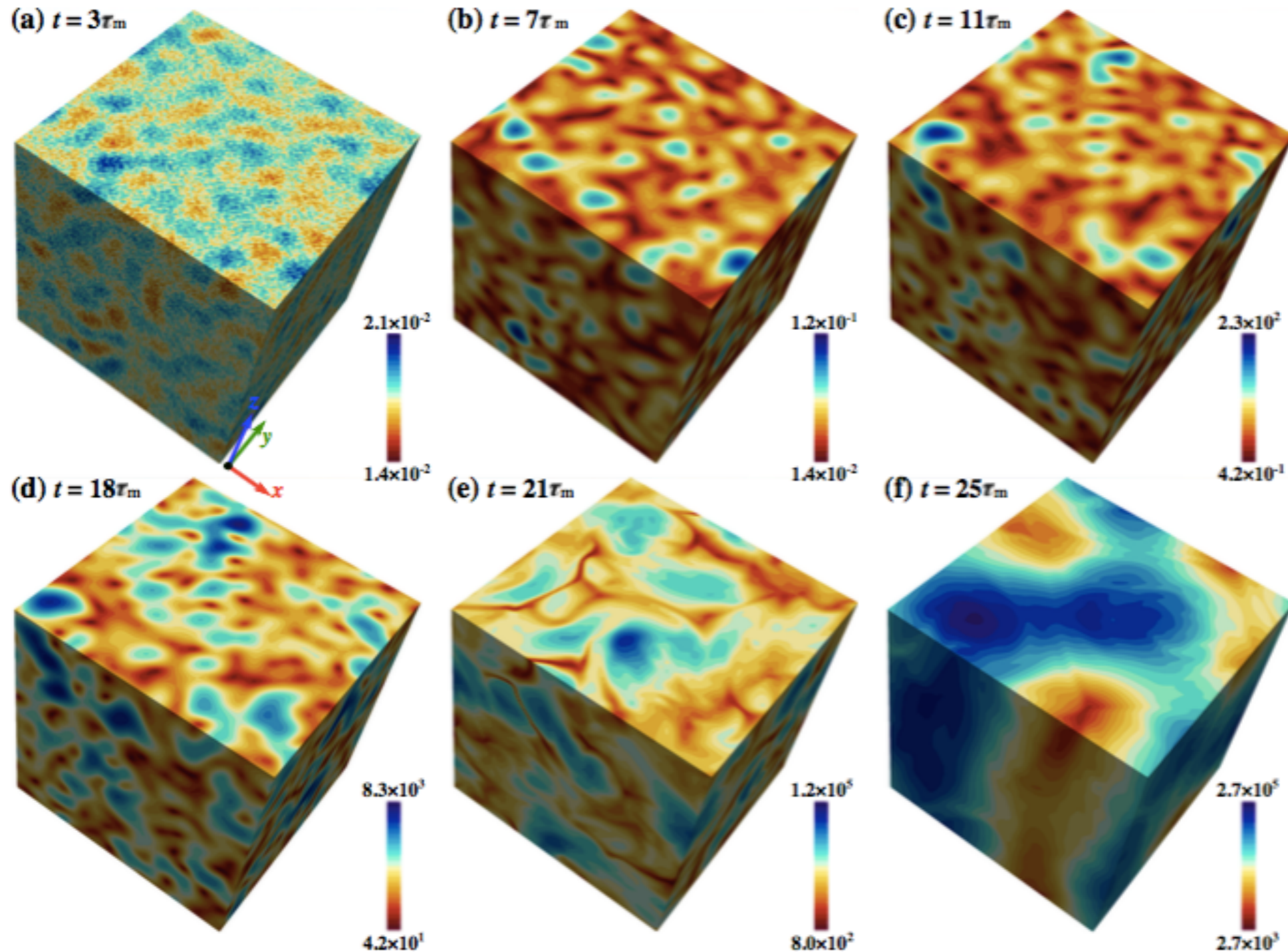
$$\partial_t n_5 + \mathbf{v} \cdot \nabla n_5 = \underbrace{-C\eta[\kappa_B B^2 - (\nabla \times \mathbf{B}) \cdot \mathbf{B}]}_{\text{anomaly}}$$

(簡単のため、渦度やCVEを無視)

Preliminary result (v field)



Preliminary result (B field)



Conclusion & Outlook

- 相対論的な非平衡・量子多体系:

Chirality = Topology

- ミクロなchirality → マクロな乱流現象（逆カスケード）
- *Neutrino radiation chiral hydro* ではどうか？
- カイラル運動論の初期宇宙への応用？

Backup slides

Full chiral kinetic theory

(for **charged** chiral particles)

Substitute modified EOM into

$$\frac{df}{dt} = \frac{\partial f}{\partial t} + \underline{\dot{\mathbf{x}}} \cdot \frac{\partial f}{\partial \mathbf{x}} + \underline{\dot{\mathbf{p}}} \cdot \frac{\partial f}{\partial \mathbf{p}} = C[f]$$

$$\begin{aligned} (1 + \mathbf{B} \cdot \boldsymbol{\Omega}_p) \frac{\partial f}{\partial t} + \left[\tilde{\mathbf{v}} + \tilde{\mathbf{E}} \times \boldsymbol{\Omega}_p + (\tilde{\mathbf{v}} \cdot \boldsymbol{\Omega}_p) \mathbf{B} \right] \cdot \frac{\partial f}{\partial \mathbf{x}} \\ + \left[\tilde{\mathbf{E}} + \tilde{\mathbf{v}} \times \mathbf{B} + (\tilde{\mathbf{E}} \cdot \mathbf{B}) \boldsymbol{\Omega}_p \right] \cdot \frac{\partial f}{\partial \mathbf{p}} = C[f] \end{aligned}$$

$$\epsilon_p = |\mathbf{p}|(1 - \mathbf{B} \cdot \boldsymbol{\Omega}), \quad \tilde{\mathbf{v}} \equiv \frac{\partial \epsilon_p}{\partial \mathbf{p}}, \quad \tilde{\mathbf{E}} \equiv \mathbf{E} - \frac{\partial \epsilon_p}{\partial \mathbf{x}}$$

Son-NY, PRL (2012); Stephanov-Yin, PRL (2012)

ニュートリノノ平均自由行程

Textbook formula: $l_{\text{mfp}} = (\sigma_A n_A)^{-1}$

$$\sigma_A \sim G_F^2 E_\nu^2 A^2 \quad n_A = \rho / (A m_N)$$

$$E_\nu \simeq \mu_e = (3\pi^2 \rho Y_e / m_N)^{1/3}$$

$$l_{\text{mfp}} \sim 10^7 \text{ cm} \left(\frac{\rho}{10^{10} \text{ g/cm}^3} \right)^{-5/3} \left(\frac{A}{56} \right)^{-1} \left(\frac{Y_e}{26/56} \right)^{-2/3}$$